

L-12P35, P40 和 IFN- γ 在胆道闭锁小鼠模型肝脏组织中的表达

杨 璞 汤绍涛 曹国庆 董 宁

【摘要】 目的 检测小鼠胆道闭锁(biliary atresia, BA)模型肝脏 IL-12p35, p40, IFN- γ mRNA 的表达情况, 探索其在 BA 发病中的作用。方法 采用腹腔注射 RRV 病毒建立 Balb/c 新生小鼠 BA 模型, 其中胆道闭锁组(BA 组)45 只, 对照组 24 只(腹腔注射病毒培养液)。应用 RT-PCR 方法检测小鼠模型肝脏中 IL-12p35, p40, IFN- γ mRNA 的表达。结果 与对照组相比, BA 组肝内 IL-12p35, p40, IFN- γ mRNA 的表达水平均明显高于对照组, $P < 0.01$, 在第 9 天时 IFN- γ 表达水平达峰值(13.340 ± 0.539), IL-12p35, IL-12p40 也同时达峰值, 分别为(47.629 ± 2.041)和(45.987 ± 2.06), 之后, IL-12p35 和 IFN- γ 表达均下降, 但 IL-12p40 表达仍维持在较高水平。结论 IL-12P35, P40 及 IFN- γ mRNA 表达水平在 BA 发病过程中明显升高, IL-12P35, P40 在 BA 发病机制中可能与调节 gamma 干扰素(IFN- γ)的分泌相关。

【关键词】 胆道闭锁 / 病理学; 肝 / 病理学; 白细胞介素 12 / 分析; 干扰素 II 型 / 分析

The expression of IL-12P35, P40 and IFN- γ in the liver of experimental biliary atresia. YANG Ying, TANG Shao-tao, CAO Guo-qing, et al. Department of Pediatric Surgery, Union Hospital of Huazhong College of Science and Technology, Wuhan 430022, China

【Abstract】 Objective To explore function and expression of IL-12p35, p40 and IFN- γ mRNA in the liver of biliary atresia (BA) mice. **Methods** Mice Models of BA were induced by infecting with RRV intraperitoneally, 45 mice were BA group, 24 mice were infected with 2%FCS-MEM as control. Expression of IL-12p35, p40 and IFN- γ mRNA in livers of mice were detected with RT-PCR. **Results** As to the control group, the expressions of IL-12p35, p40 and IFN- γ mRNA in the liver of BA mice were much higher than those in control group ($P < 0.01$) and peaked at the 9th days after inoculating of RRV (IFN- γ : 13.340 ± 0.539 ; IL-12p35: 47.629 ± 2.041 ; p40: 45.987 ± 2.06). Then the expressions of IFN- γ and IL-12p35 decreased, while the expression of IL-12p40 remained to a high level. **Conclusions** The expression of IL-12p35, p40 and IFN- γ increased in the liver of BA mice, maybe the externalization of IFN- γ is related with IL-12p35, p40 in the pathogenesis of BA.

【Key words】 Biliary Atresia/PA; Liver/PA; Interleukin-12/AN; Interferon Type II/AN

近年来研究表明, 免疫炎症反应在胆道闭锁(biliary atresia, BA) 发病过程中起着至关重要的作用, 一些研究^[1,2]证明, γ -干扰素(IFN- γ)在 BA 的发生发病过程中起关键作用。已知白细胞介素 12(IL-12) 是自身免疫炎症反应中的重要因子, 并与 IFN- γ 之间有正反馈调节作用。本研究拟对胆道闭锁肝脏组织中 IL-12p35, p40 和 IFN- γ 进行定量测定, 以探讨 IL-12 在胆道闭锁中的作用。

材料与方 法

一、病毒、动物和主要试剂

病毒为恒河猴轮状病毒 RRV MU10086(美国辛西那提大学小儿外科 Mack CL 教授赠送)。MA104 细胞用于病毒的滴度和培养(购自第四军医大学细胞学实验室)。动物 Balb/c 小鼠, 5 周龄, 无特定病原体级(specific pathogen free, SPF)(购自同济医学院实验动物中心)。Trizol(购自上海华舜生物工程有 限公司); DNA 荧光染料 SYBR Green I, 引物, RNA 酶抑制剂, Taq 酶, 10 \times buffer, 5 \times buffer(购自上海英 骏生物技术有限公司)。

作者单位: 华中科技大学附属协和医院小儿外科(武汉, 430030), 通讯作者: 汤绍涛, E-mail: tshaotao83@126.com, 该课题为湖北省卫生厅资助项目(项目号 2005JX2B19), 湖北省自然科学基金资助项目(项目号 2006ABA159)

小鼠 IFN- γ 引物序列为:5'-TCAAGTGGCAT AGATCGGAAG-3' (sense);5'-GACGCTTAT-GTTGTTGCTGATG-3'(antisense), 小鼠 IL-12P35 引物序列:5'-CTATGGTCAGCGTTCCAACAGC-3' (sense);5'- GTTTCGGGACTGGCTAAGACACC-3' (antisense), 小鼠 IL-12P40 引物序列:5'-CCTCTTC-CCTGTCGCTAACTC-3' (sense);5'-CCAGTCCAC-CTCTACAACATAAAC-3'(antisense), 内参物 GAPDH 引物序列为:5'-GATGGTGA AGGTCCGTGTG-3' (sense);5'-GAGGTC AATGAAGGGTCTCG-3' (anti-sense)。

二、模型建立^[3]

将 Balb / c 小鼠 24 只, 按照雄雌比例 1 : 3 分笼饲养, 待生下第 1 胎新生鼠后随机分为 2 组, 并在 24 h 内腹腔给药。对照组给予腹腔注射病毒培养液 20 μ L, 实验组腹腔注射 20 μ L PFU = 106 的轮状病毒。分别在 3 d、6 d、9 d、14 d、21 d 观察小鼠体重变化、无毛区黄疸情况及大小便颜色, 并行剖腹探查, 取肝脏和胆管组织作连续切片行 HE 染色。

三、实时荧光定量 PCR (Real-Time PCR) 检测 IL-12p35, p40 及 IFN- γ mRNA

于剖腹探查时即取小鼠肝脏组织置于 -70 $^{\circ}$ C 保存备用, 取齐标本后, 每份称量 50 mg 置于玻璃匀浆器中, 加 500 μ L Trizol 试剂进行匀浆, 匀浆后得到组织 mRNA 标本转移到 1.5 mL 的 EP 管中, 对 mRNA 标本进行 Real Time PCR。

在逆转录酶的作用下, 将 mRNA 逆转录成 cDNA 分子。逆转录反应体系为:H₂O 5.5 μ L, 引物 1.0 μ L (50 μ g / mL), 模版 RNA 6.0 μ L, 混合后至 70 $^{\circ}$ C 5 min, 立即冰浴。后加入 RNasin 0.5 μ L (40U/ μ L), 5 \times Buffer 4.0 μ L, 10mM dNTP 2.0 μ L, RTase 1.0 μ L (200U/ μ L), 置于逆转录仪, 设定 42 $^{\circ}$ C 60 min, 95 $^{\circ}$ C 5 min, 进行逆转录反应。

Real-Time PCR 反应体系为:CDNA 1 μ L, 10X Buffer 5 μ L, MgCl₂(25mM)7 μ L, dNTP (10Mm) 1 μ L, F

(20pmol/ μ L)0.8 μ L, R (20pmol/ μ L)0.8 μ L, SYBR Green I 1 μ L, Taq 酶 (5U/ μ L)0.5 μ L, H₂O 32.9 μ L 混匀后置于 RT-PCR 仪内设定 94 $^{\circ}$ C 3 min, (94 $^{\circ}$ C 30 s, 53 $^{\circ}$ C 30 s, 73 $^{\circ}$ C 30 s)进行 50 个循环。

所有产物均被 FTC-2000 荧光实时定量 PCR 仪收集, 并存入其附件(电脑)及分析软件中, 以内参物 GRAPH 的表达量为参照标准, 按照以下公式计算每组中各个样本 IL-12p35, p40, IFN- γ mRNA 的相对表达量, 各组最终结果用均数 \pm 标准差 ($\bar{x} \pm s$) 形式列表表示:待测样品相对表达量 = $2^{-\Delta\Delta C_t}$; $\Delta C_t = \Delta C_t$ 内参 - ΔC_t 待测样品; ΔC_t 内参 = C_t 阴性标本 - C_t 内参; ΔC_t 待测样品 = C_t 阴性标本 - C_t 代测样品

C_t 值是指每个反应管内的荧光信号到达设定的阈值时所经历的循环数, C_t 值与 mRNA 的表达水平成负相关, 即 C_t 值增加, IL-12p35, p40 和 IFN- γ mRNA 的表达水平下降。

四、统计学方法

所有数据用均数 \pm 标准差 ($\bar{x} \pm s$) 表示, 采用 SPSS 13.0 统计学软件进行 t 检验。 $P < 0.05$, 为差异有统计学意义。

结 果

一、接种 RRV 后小鼠 BA 的发生率

实验组 87 只, 接种病毒后 63 只出现发育迟缓和胆汁淤积等症状, 肝脏和胆管光镜观察及切片行 HE 染色诊断为 BA (图 1), 成功率为 77.8% (63 / 81)。截至第 14 天共死亡 47 只鼠, 第 21 天时仅剩 1 只雄性小鼠。对照组 27 只, 自然死亡 3 只, 无一例出现发育迟缓和胆汁淤积症状。取实验组中符合 BA 诊断标准的鼠 45 只以及对照组 24 只小鼠肝脏进行 IL-12p35, p40 及 IFN- γ mRNA 检测。

二、IL-12p35, p40 及 IFN- γ mRNA 在胆道闭锁小鼠肝脏组织中的表达

连续观察 IL-12p35, p40 和 IFN- γ mRNA 在胆

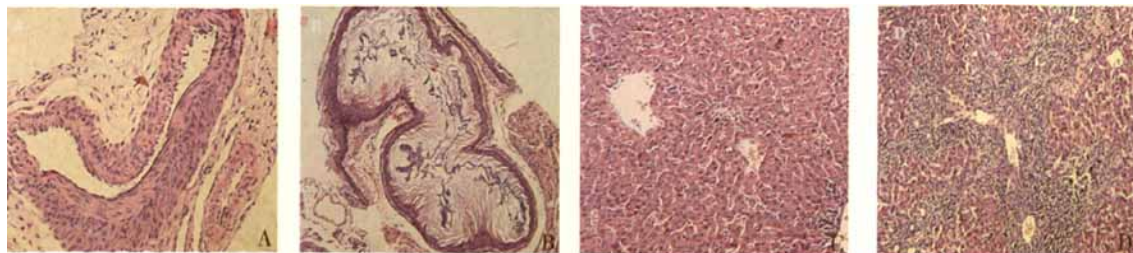


图 1 A, 正常胆管; B, BA 胆管呈闭锁状态, 内皮细胞破坏, 不规则增生, 伴炎性细胞浸润 (100 \times); C, 正常肝脏汇管区炎症细胞极少; D, BA 肝脏中见汇管区炎症细胞 (蓝色部分的细胞) 明显浸润 (100 \times)。

道闭锁小鼠肝脏组织中的表达情况,发现三者表达均从第 3 天开始增高,均高于对照组小鼠($P < 0.01$),至第 9 天时达峰值,IFN- γ 表达水平为 13.340 ± 0.539 ,

IL-12p35 为 47629 ± 2041 ,IL-12p40 为 45987 ± 206 ,之后,IFN- γ 和 IL-12p35 水平开始下降,但 IL-12p40 仍维持在较高水平,见表 1,图 2。

表 1 不同时间点 IL-12p35, p40, IFN- γ mRNA 表达水平的变化

时间	对照组(2- $\Delta\Delta\Delta$)			BA 组(2- $\Delta\Delta\Delta$)		
	n IL-12p35	IL-12p40	IFN- γ	n IL-12p35	IL-12p40	IFN- γ
第 3 天	5.436 ± 0.80	4.54 ± 1.18	0.22 ± 0.04	917.52 ± 1.26	15.92 ± 1.23	3.32 ± 0.06
第 6 天	4.396 ± 0.40	4.30 ± 1.20	0.226 ± 0.01	138.21 ± 2.21	27.57 ± 1.89	6.51 ± 0.49
第 9 天	6.512 ± 0.41	4.98 ± 0.65	0.39 ± 0.010	127.63 ± 2.04	45.99 ± 2.06	13.34 ± 0.54
第 14 天	4.387 ± 0.77	3.68 ± 0.28	0.49 ± 0.07	109.32 ± 1.67	36.46 ± 1.22	4.62 ± 0.75
第 21 天	5.324 ± 0.30	3.15 ± 0.26	0.51 ± 0.05	14.43	35.29	1.88

注:两组 IL-12p35 相比:第 3 天, $t = 21.01; P < 0.01$;第 6 天: $t = 21.45; P < 0.01$;第 9 天: $t = 49.78; P < 0.01$;第 14 天: $t = 17.45; P < 0.01$;第 21 天: $t = 34.22; P < 0.01$ 。两组 IL-12p40 相比:第 3 天: $t = 15.79$;第 6 天: $t = 22.89$;第 9 天: $t = 46.97$;第 14 天: $t = 52.11$;第 21 天: $t = 112.6$,均 $P < 0.01$ 。两组 IFN- γ 相比:第 3 天: $t = 181.21$;第 6 天: $t = 56.59$;第 9 天: $t = 86.49$;第 14 天, $t = 24.21$;第 21 天: $t = 38.19$,均 $P < 0.01$

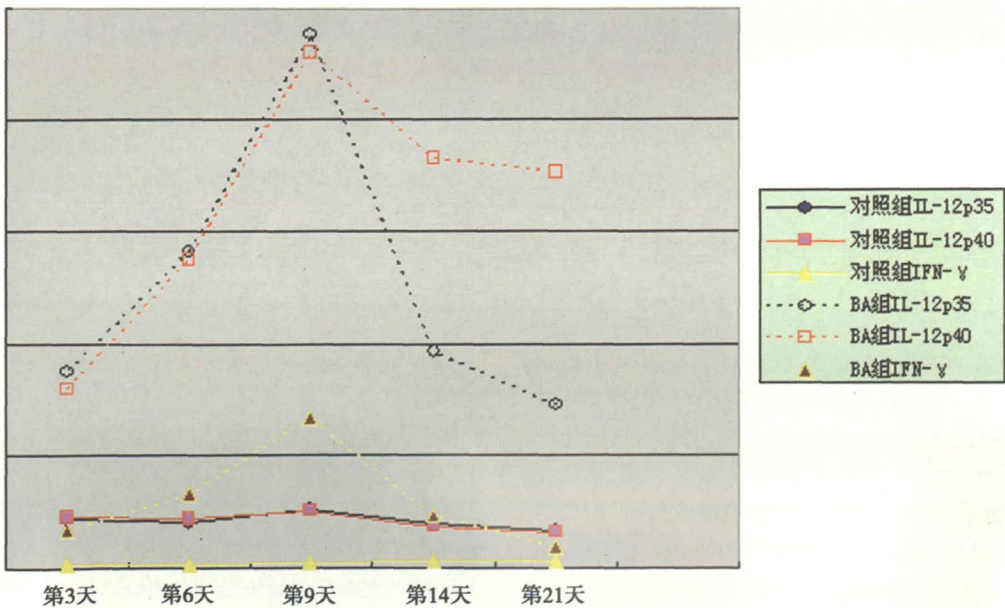


图 2 IL-12p35, p40, IFN- γ mRNA 表达水平的变化

讨论

近年来许多研究认为 BA 是病毒感染诱发了机体的炎症和免疫反应^[4-9]。研究者通过对比研究 BA 与其它类似症状的小儿淤胆性疾病,发现仅在 BA 肝脏汇管区有大量 Kupffer(枯否细胞)、CD₄+T、CD₈+T 细胞和 NK 细胞等浸润,IFN- γ 和 IL-12 p40 等过度表达,提示胆管上皮及汇管区炎性细胞浸润和促炎因子的释放可能是 BA 胆管损伤的始动因素^[7-9]。研究证明,在胆道闭锁的炎性环境中,肝脏内 kupffer 细胞活化后所分泌的 IL-12 促进 Th1 细胞的分化

和活化。IL-12 等细胞因子可以促使原始 CD₄+Th 细胞分化为 Th1 细胞,Th1 细胞活化后可以释放 IFN- γ 。Shivakumar 等^[10]应用 RRV 建立 Balb/c IFN- γ 基因缺失鼠 BA 模型,感染后虽出现早期胆管炎症和黄疸,但不久症状消失,肝外胆管保持开放。将 IFN- γ 基因缺失鼠病毒感染后再腹腔注射重组 IFN- γ ,小鼠又出现 BA 表现,与野生小鼠类似。而 Joachim F 等^[11]用 RRV 病毒感染 I 型干扰素受体,II 型干扰素受体(IFN- γ R)基因敲除鼠和野生鼠,结果显示 IFN- γ R 的缺失可明显降低胆道闭锁小鼠胆汁淤积的恢复。两项研究结果虽有矛盾,但是均提示 IFN- γ 及其受体在新生鼠肝外胆管损

伤和闭锁的形成机制中发挥着关键作用。

IL-12 主要由巨噬细胞、单核细胞、树突细胞、朗罕细胞和角质细胞等产生,具有多种生物学功能,诱导 Th1 细胞和 NK 细胞分泌 IFN- γ 、IL-2; 加强 NK、LAK 细胞和杀伤性 T 细胞的细胞毒性,是连接机体先天性免疫力和后天获得性免疫力的桥梁^[56]。IL-12 由不同基因编码的两个亚单位 p35 和 p40 结合形成 IL-12p70 异源二聚体形式,IL-12 才具生物学活性,而 p40 亚基相结合形成(p40)₂ 同源二聚体则通过竞争 IL-12 受体,抑制 IL-12 的生物学作用^[6]。在 BA 中,肝门结缔组织以及肝内胆管周围浸润的炎性细胞主要为淋巴细胞、巨噬细胞以及嗜伊红细胞,巨噬细胞和活化的 Kupffer 细胞可以产生大量 IL-12, 从而使其在 BA 中发挥重要作用。Sujit Kumar Mohanty 等^[10]利用 RRV 病毒感染 IL-12 基因敲除鼠,研究表明,IL-12 的缺失并不能完全阻止 IFN- γ 的产生,也不能阻止胆道闭锁发生进展,但是却增加了 TNF- α 、IFN- α 及 IFN- γ 的产生,免疫反应主要基于嗜中性粒细胞,显示为 TH1 细胞免疫应答。IL-12 最重要的功能就是调整 Th1/Th2 细胞的平衡^[11], 促进 Th1 细胞分泌大量 IFN- γ 。而 IFN- γ 可抑制 IL-4 的抗 IL-12 的作用,使 Th2 转化为 Th1 细胞,分泌更多 IFN- γ 。IFN- γ 还能直接或间接影响 Th1 细胞发育,为 T 细胞提供一种共刺激信号,上调 IL-12 的表达,二者的正反馈调节作用使机体在遭遇病毒侵袭时,以 Th1 细胞应答为主,共同抵挡病毒侵袭。

本实验利用轮状病毒感染 Balb/c 新生鼠建立胆道闭锁模型,取其肝脏标本动态检测其中 IL-12P35、P40、IFN- γ 的 mRNA 含量。结果显示实验组 IL-12P35、P40 及 IFN- γ 在病毒感染第 3 天同时增高,均高于对照组,分别为 IL-12P35(17.52 ± 1.26 vs 4.36 ± 0.80), IL-12P40(15.92 ± 1.23 vs 4.54 ± 1.18), IFN- γ (3.32 ± 0.06 vs 0.22 ± 0.04), 到第 9 天达峰值,分别为 IL-12P35:47.63 ± 2.04, IL-12P40:45.99 ± 2.06, IFN- γ :13.34 ± 0.54, 说明 IL-12P35、P40 很有可能在体内形成异源二聚体 p70, 从而发挥 IL-12 的生物学作用,促进 IFN- γ 的分泌,而在第 9 天之后 IL-12p35 和 IFN- γ 表达均下降,而 IL-12p40 虽稍有下降,但仍维持在较高水平,说明

此时可能 IL-12p40 形成 (p40)₂, 从而抑制了 IL-12 的生物学活性。这一结论提示在胆道闭锁的发病过程中,IL-12 通过诱导 Th1 细胞的分化,分泌大量 IFN- γ , IFN- γ 与其受体识别后通过 IFN- γ R2 引起细胞内信号转导事件,诱导严重的免疫应答,最终引起肝内外胆管损伤、闭塞,最终迅速导致进行性不可逆的肝脏纤维化。

参 考 文 献

- 1 Shivakumar P, Campbell KM, Sabla GE, et al. Obstruction of extrahepatic bile ducts by lymphocytes is regulated by IFN- γ in experimental biliary atresia [J]. J Clin Invest, 2004, 114:322-329.
- 2 Leeb T, Dolle K, Haase B. Sequence analysis of the porcine IFNAR1 and IFNGR2 genes [J]. Cytogenet Genome Res, 2006, 2: 134-137.
- 3 马亚贞, 汤绍涛, 童强松, 等. 轮状病毒致胆道闭锁动物模型的建立 [J]. 中华小儿外科杂志, 2007, 12: 659-662.
- 4 汤绍涛, 童强松, 毛永忠, 等. 胆道闭锁患儿血清 sICAM-1 与 IL-18 的变化及临床意义 [J]. 中华小儿外科杂志, 2004, 6: 531-533.
- 5 汤绍涛, 阮庆兰. 胆道闭锁与细胞因子 [J]. 中华小儿外科杂志, 2003, 1: 85-87.
- 6 Mack CL. The pathogenesis of biliary atresia: evidence for a virus-induced autoimmune disease [J]. Semin Liver Dis, 2007, 3: 233-242.
- 7 Kotba MA, Henawy AE, Talaath S, et al. Immune-mediated liver injury: prognostic value of CD4+, CD8+, and CD68+ in infants with extrahepatic biliary atresia [J]. J Pediatric Surg, 2005, 40: 1252-1257.
- 8 Bezerra JA. Potential etiology of biliary atresia [J]. Pediatr Transplantation, 2005, 9: 646-651.
- 9 Heinzel F P, Hujer A M, Ahmed F N, et al. In vivo production and function of IL-12 p40 homodimers [J]. J Immunol, 1997, 158: 4381-4388.
- 10 Mohanty SK, Shivakumar P, Sabla G, Bezerra JA. Loss of interleukin-12 modifies the pro-inflammatory response but does not prevent duct obstruction in experimental biliary atresia [J]. BMC Gastroenterol, 2006, 19(6): 14.
- 11 Murphy KM, Ouyang W, Farrar JD, et al. Signaling and transcription in T helper development [J]. Annu Rev Immunol, 2000, 18: 451-494.

作者: 杨瑛, 汤绍涛, 曹国庆, 董宁
作者单位: 华中科技大学附属协和医院小儿外科, 武汉, 430030
刊名: 临床小儿外科杂志 
英文刊名: JOURNAL OF CLINICAL PEDIATRIC SURGERY
年, 卷(期): 2008, 7(6)
被引用次数: 1次

参考文献(11条)

1. 汤绍涛;阮庆兰 胆道闭锁与细胞因子[期刊论文]-中华小儿外科杂志 2003(01)
2. 汤绍涛;童强松;毛永忠 胆道闭锁患儿血清sICAM-1与IL-18的变化及临床意义[期刊论文]-中华小儿外科杂志 2004(06)
3. 马亚贞;汤绍涛;童强松 轮状病毒致胆道闭锁动物模型的建立[期刊论文]-中华小儿外科杂志 2007(12)
4. Leeb T;Dolle K;Haase B Sequence analysis of the porcine IFNAR1 and IFNGR2 genes 2006(2)
5. Murphy KM;Ouyang W;Farrar JD Signaling and transcription in T helper development 2000(0)
6. Mohanty SK;Shivakumar P;Sabla G;Bezerra JA Loss of interleukin-12 modifies the pro-inflammatory response but does not prevent duct obstruction in experimental biliary atresia 2006(06)
7. Heinzel F P;Hujer A M;Ahmed F N In vivo production and function of IL-12 p40 homodimers 1997
8. Bezerra JA Potential etiology of biliary atresia 2005(5)
9. Kotba MA;Henawy AE;Talaatb S Immune-mediated liver injury:prognostic value of CD4+, CD8+, and CD68+ in infants with extrahepatic biliary atresia 2005(8)
10. Mack CL The pathogenesis of biliary atresia:evidence for a virus-induced autoimmune disease 2007(3)
11. Shivakumar P;Campbell KM;Sabla GE Obstruction of extrahepatic bile ducts by lymphocytes is regulated by IFN-gamma in experimental biliary atresia 2004(3)

引证文献(1条)

1. 晏青. 卞鹰. 康权 胆道闭锁与病毒感染和免疫反应的相关研究[期刊论文]-细胞与分子免疫学杂志 2010(6)

本文链接: http://d.wanfangdata.com.cn/Periodical_lcxewkzz200806008.aspx

授权使用: 黔南民族师范学院(gnnzsfxy), 授权号: 7b152dd3-1120-4287-b097-9eda00b828aa

下载时间: 2011年5月5日